

1. APRESENTAÇÃO

Na semana de 14/06 a 20/06/2025 houve precipitação nas bacias dos rios Iguaçu, Jacuí e Taquari-Antas.

Na semana de 21/06 a 27/06/2025 deve ocorrer precipitação nas bacias dos rios Uruguai, Iguaçu, Paranapanema, Tietê e na incremental a UHE Itaipu. Há previsão de pancadas de chuva isolada para a bacia do rio Madeira, com os maiores totais de precipitação previstos para os trechos boliviano e peruano.

Os valores médios semanais do Custo Marginal de Operação – CMO dos subsistemas do SIN sofreram as seguintes alterações em relação à semana anterior:

- SE/CO: de R\$ 273,50/MWh para R\$ 237,94/MWh
- Sul: de R\$ 273,50/MWh para R\$ 237,94/MWh
- Nordeste: de R\$ 273,47/MWh para R\$ 237,94/MWh
- Norte: de R\$ 273,50/MWh para R\$ 237,94/MWh

Desde o dia 01/01/2020, o despacho por ordem de mérito é indicado diariamente pelos resultados do modelo DESSEM. Assim, o despacho por ordem de mérito semanal, conforme publicado nesse documento, tem caráter apenas informativo. Da mesma forma, desde o dia 01/01/2021, a formação de preço deixou o formato semanal/patamar de carga e passou a ser horário, de acordo também com os resultados do modelo DESSEM.

2. NOTÍCIAS

Nos dias 26 e 27 de junho será realizada a reunião de elaboração do PMO de Julho de 2025, em formato híbrido, presencialmente no auditório do Rio de Janeiro (com inscrição obrigatória para participação presencial) e com transmissão ao vivo através do site do ONS.

3. INFORMAÇÕES CONJUNTURAIIS PARA ELABORAÇÃO DO PMO

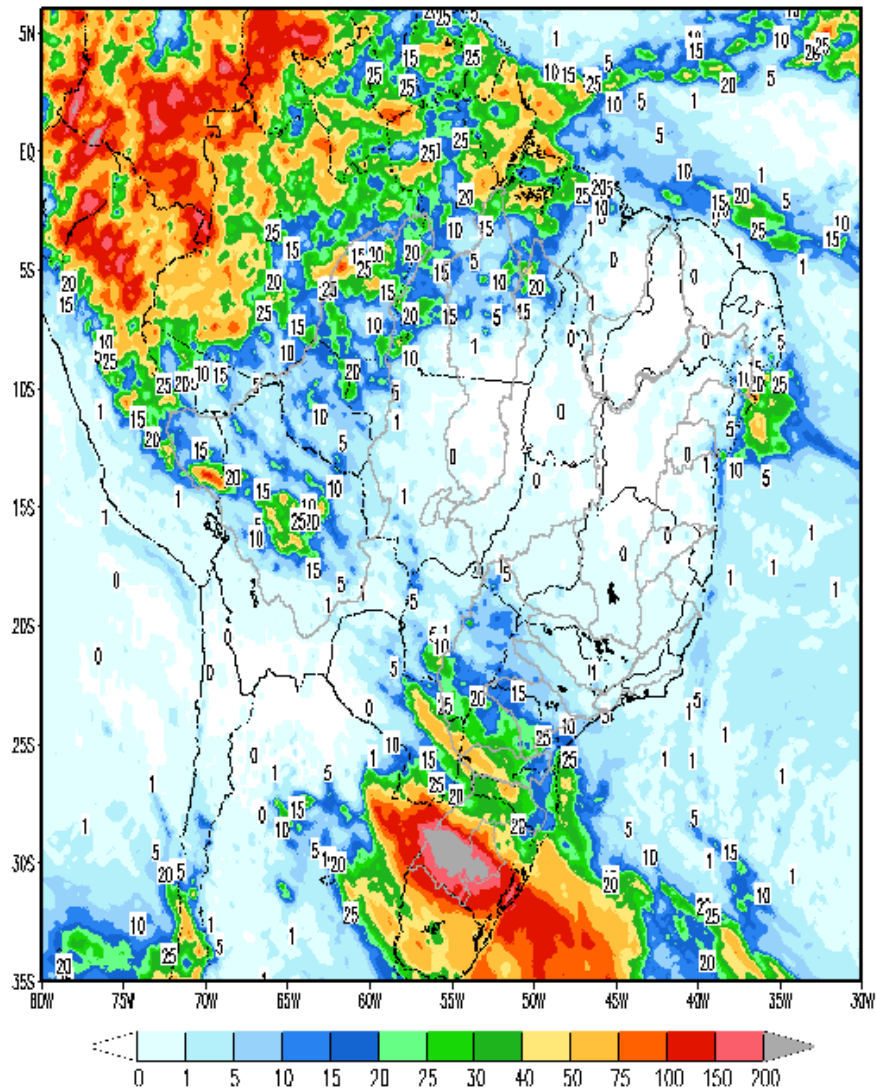
3.1. Informações hidrometeorológicas

3.1.1. Condições antecedentes

A atuação de áreas de instabilidade e a formação de duas frentes frias na Região Sul provocaram precipitação nas bacias dos rios Uruguai, Jacuí e Taquari-Antas na semana operativa atual (Figura 1). Em relação as demais bacias hidrográficas de interesse do SIN, não houve precipitação significativa.

Figura 1 – Precipitação observada (mm) no período de 14/06 a 18/06/2025

GPM / Brasil
Precipitação (mm) acumulada entre 14/Jun/2025 a 17/Jun/2025



A Tabela 1 apresenta as energias naturais afluentes das semanas recentes. São apresentados os valores verificados na semana 07/06/2025 a 13/06/2025 e os estimados para fechamento da semana de 14/06/2025 a 20/06/2025.

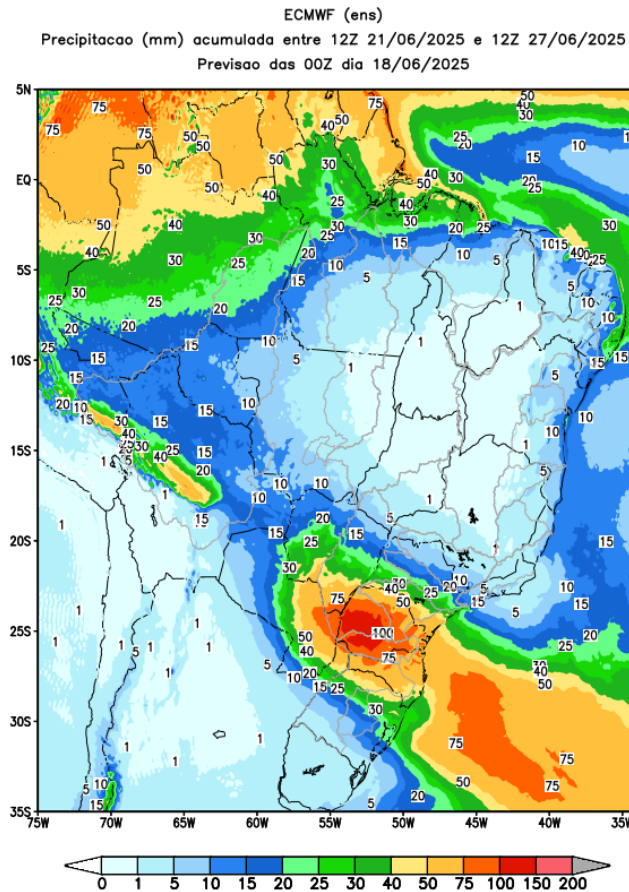
Tabela 1 – Tendência hidrológica da ENA da Revisão 3 de Junho/2025

| Revisão 3 do PMO de Junho/2025 - ENAs | | | | |
|---------------------------------------|--------------------|------|--------------------|------|
| Subsistema | 07/06 a 13/06/2025 | | 14/06 a 20/06/2025 | |
| | MWmed | %MLT | MWmed | %MLT |
| SE/CO | 28.627 | 88 | 26.868 | 83 |
| S | 9.449 | 89 | 10.044 | 95 |
| NE | 1.819 | 40 | 1.830 | 40 |
| N | 7.080 | 66 | 6.307 | 59 |

3.1.2. Previsão para a próxima semana

A passagem de duas frentes frias pelas Regiões Sul e Sudeste ocasionam precipitação nas bacias dos rios Uruguai, Iguazu, Paranapanema e Tietê e na incremental a UHE Itaipu (Figura 2). Há previsão de pancadas de chuva isolada na bacia do rio Madeira, com os maiores totais de precipitação previstos para os trechos boliviano e peruano. Para as demais bacias hidrográficas de interesse do SIN, não há previsão de precipitação significativa.

Figura 2 - Precipitação acumulada prevista pelo modelo ECMWF - período de 21 a 27/06/2025



Em comparação com os valores estimados para a semana em curso, prevê-se para a próxima semana operativa ascensão nas afluentes do subsistema Sul e recessão nas afluentes dos subsistemas Sudeste/Centro-Oeste, Nordeste e Norte. A previsão mensal para junho indica a ocorrência de afluentes abaixo da média histórica para os subsistemas Sudeste/Centro-Oeste, Nordeste e Norte e acima da média histórica para o subsistema Sul.

Tabela 2 – Previsão de ENAs da Revisão 3 de Junho/2025

| Revisão 3 do PMO de Junho/2025 - ENAs previstas | | | | |
|---|--------------------|------|--------------|------|
| Subsistema | 21/06 a 27/06/2025 | | Mês de junho | |
| | MWmed | %MLT | MWmed | %MLT |
| SE/CO | 24.503 | 75 | 26.624 | 82 |
| S | 19.018 | 180 | 12.519 | 118 |
| NE | 1.594 | 35 | 1.803 | 40 |
| N | 5.297 | 50 | 6.494 | 61 |

As figuras a seguir ilustram as ENAs semanais verificadas e previstas para as Revisões 2 e 3 do PMO de Junho/2025.

Figura 3 - Energias Naturais Afluentes ao subsistema Sudeste/Centro-Oeste das Revisões 2 e 3 do PMO de Junho/2025

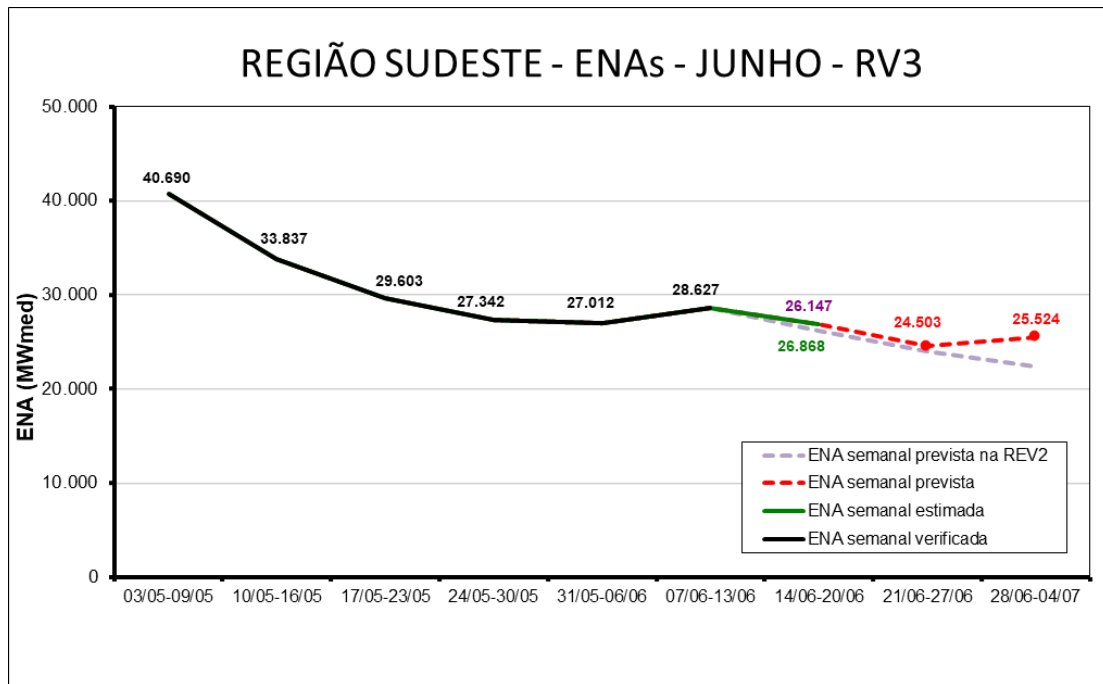


Figura 4 - Energias Naturais Afluentes ao subsistema Sul das Revisões 2 e 3 do PMO de Junho/2025

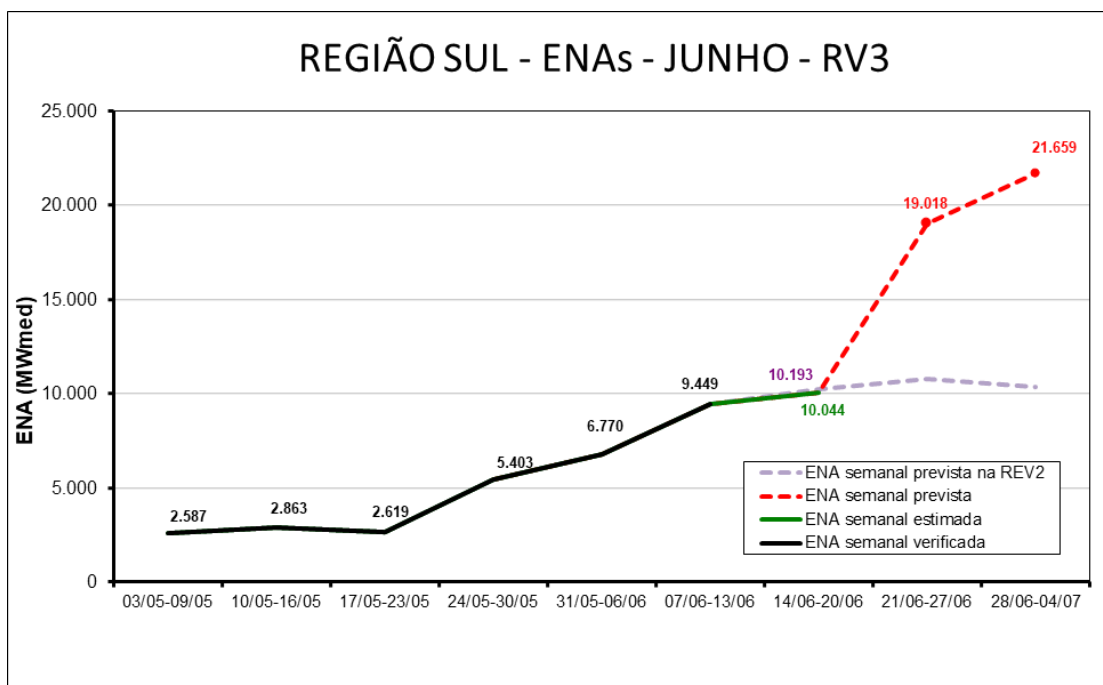


Figura 5 - Energias Naturais Afluentes ao subsistema Nordeste das Revisões 2 e 3 do PMO de Junho/2025

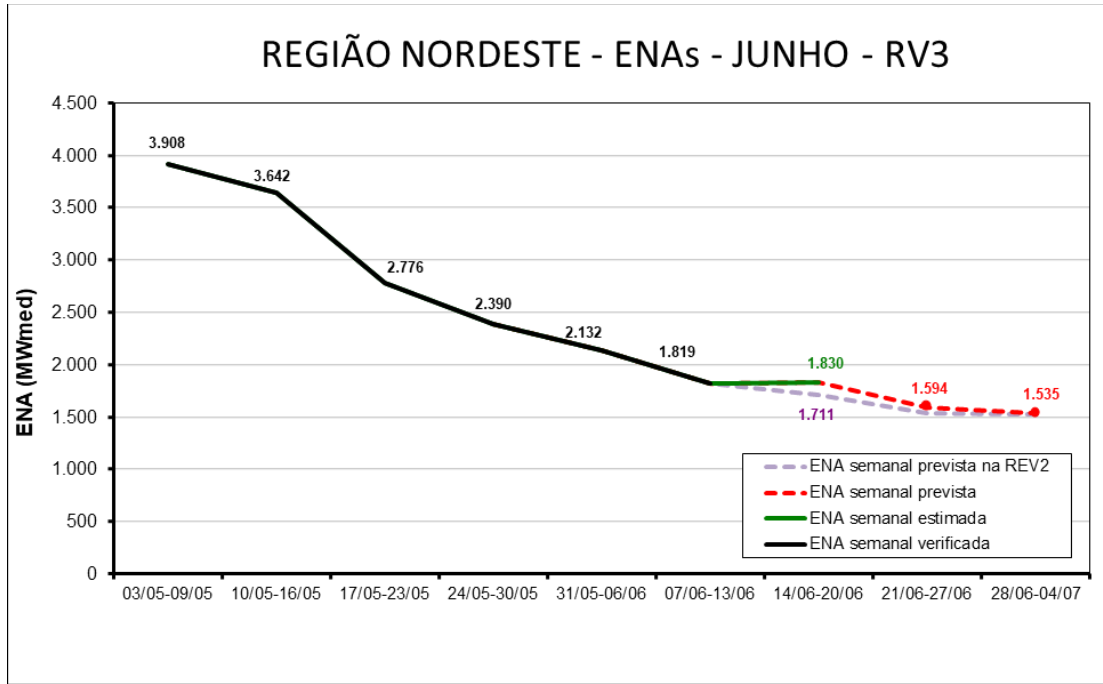
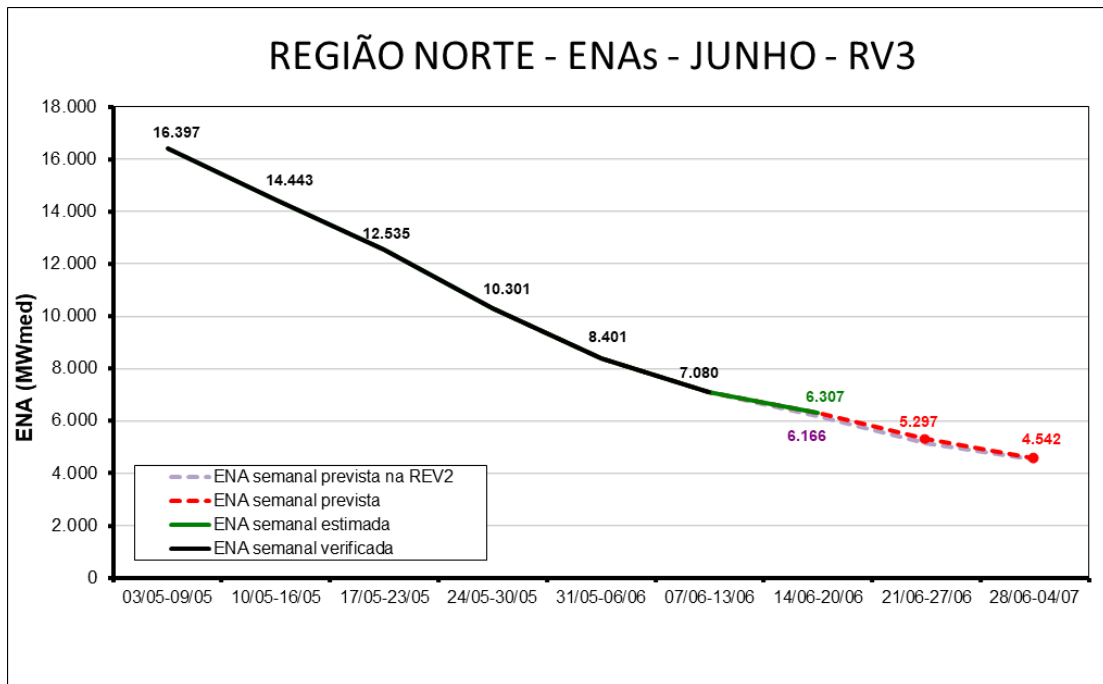


Figura 6 - Energias Naturais Afluentes ao subsistema Norte das Revisões 2 e 3 do PMO de Junho/2025



3.1.3. Cenários de ENAs para a Revisão 3 de Junho/2025

As figuras a seguir apresentam as características dos cenários de energias naturais afluentes gerados na Revisão 3 de Junho/2025, para acoplamento com a FCF do mês de julho/2025. São mostradas, para os quatro subsistemas, as amplitudes e as Funções de Distribuição Acumulada dos cenários de ENA, comparativamente com os valores considerados para as revisões anteriores do PMO de Junho/2025.

Figura 7 - Amplitude dos Cenários de ENA para o subsistema Sudeste/Centro-Oeste, em %MLT, para a Revisão 3 de Junho/2025

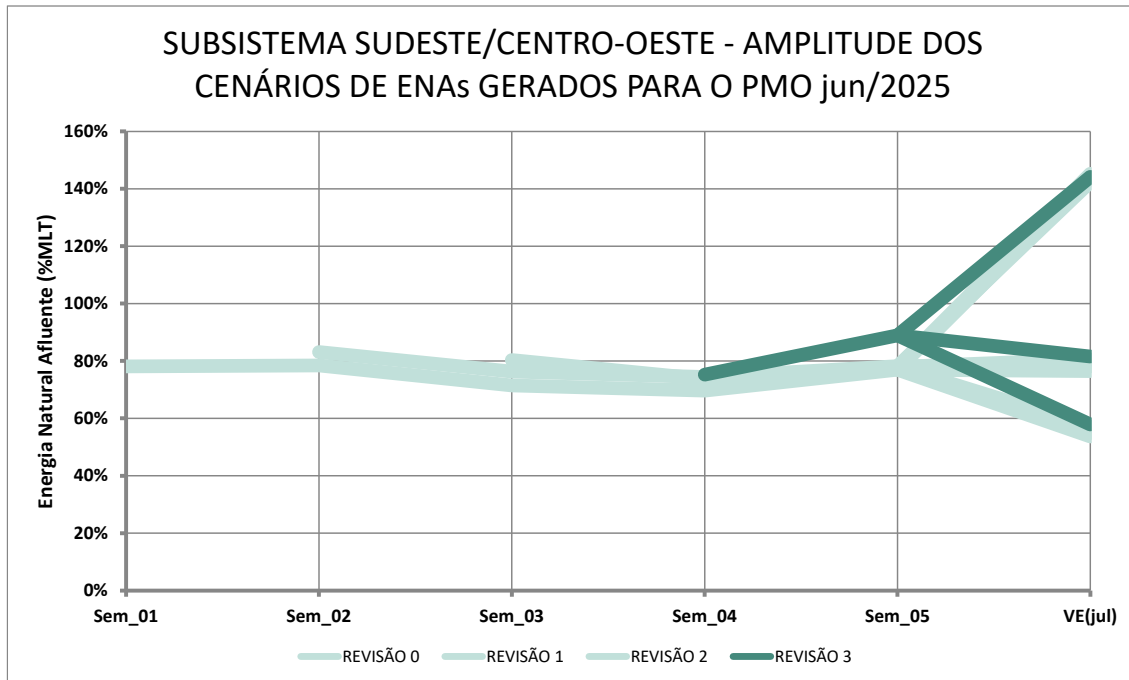


Figura 8 - Função de Distribuição Acumulada dos Cenários para o subsistema Sudeste para a Revisão 3 de Junho/2025

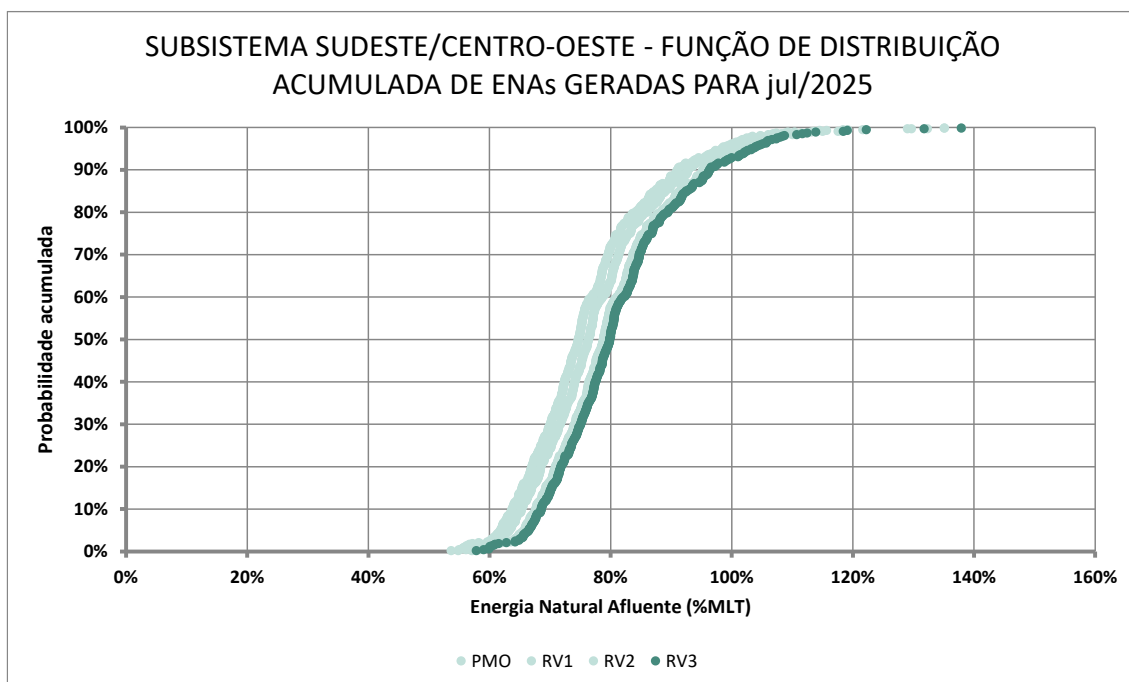


Figura 9 - Amplitude dos Cenários de ENA para o subsistema Sul, em %MLT, para a Revisão 3 de Junho/2025

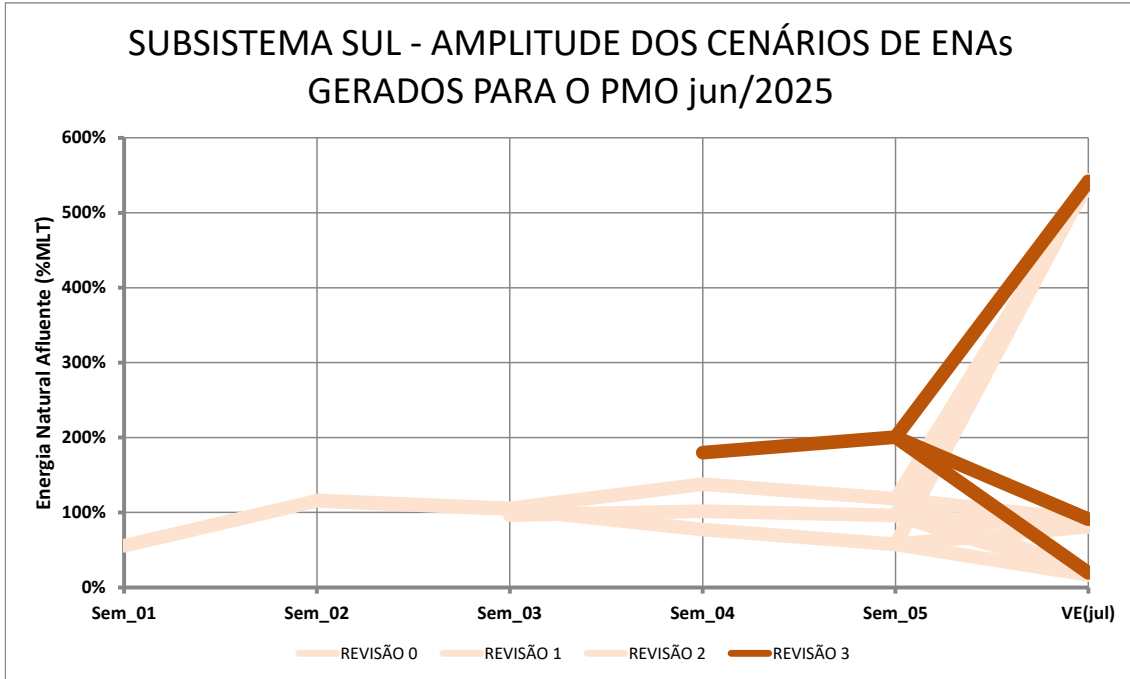


Figura 10 - Função de Distribuição Acumulada dos Cenários para o subsistema Sul para a Revisão 3 de Junho/2025

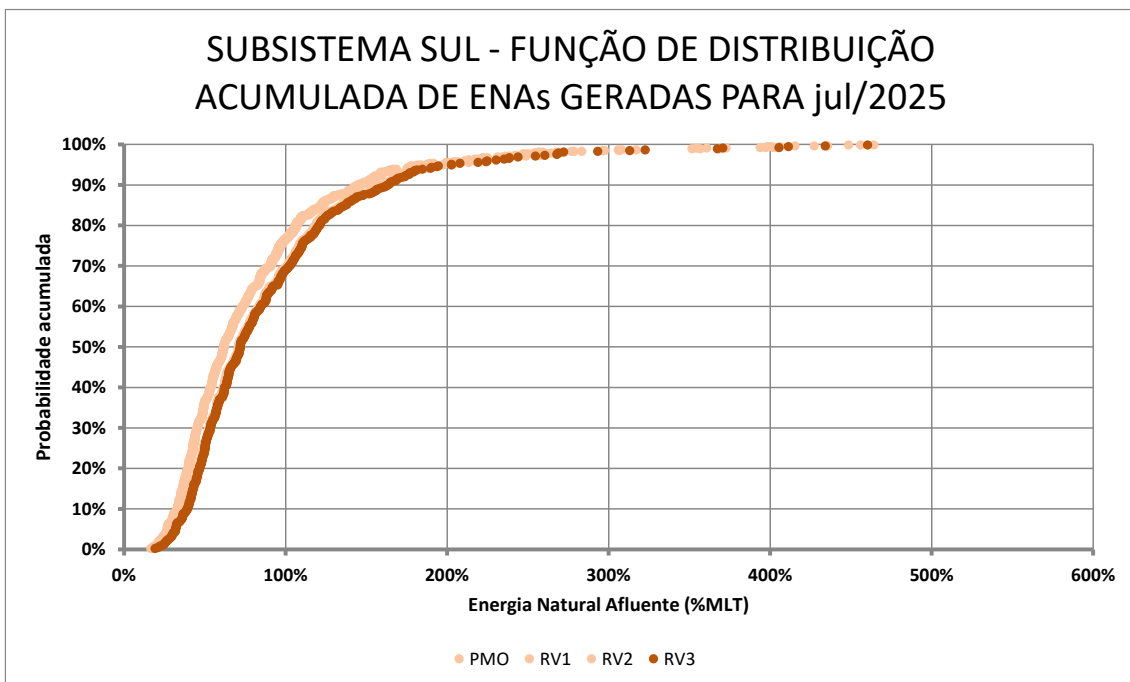


Figura 11 - Amplitude dos Cenários de ENA para o subsistema Nordeste em %MLT, para a Revisão 3 de Junho/2025

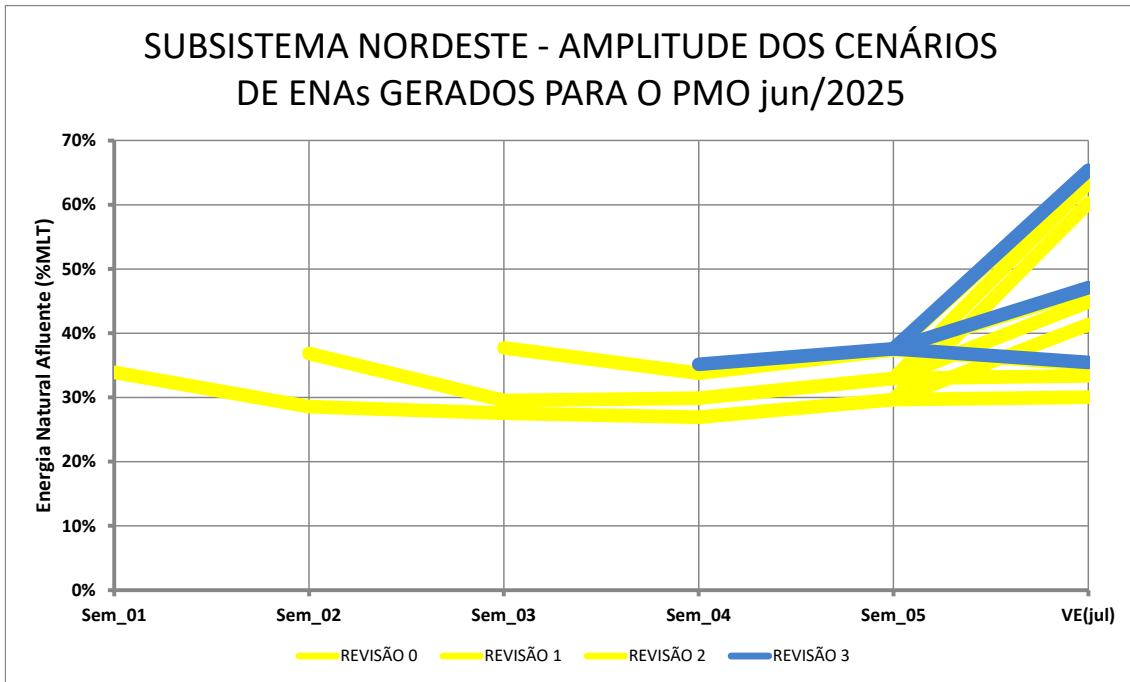


Figura 12 - Função de Distribuição Acumulada dos Cenários para o subsistema Nordeste para a Revisão 3 de Junho/2025

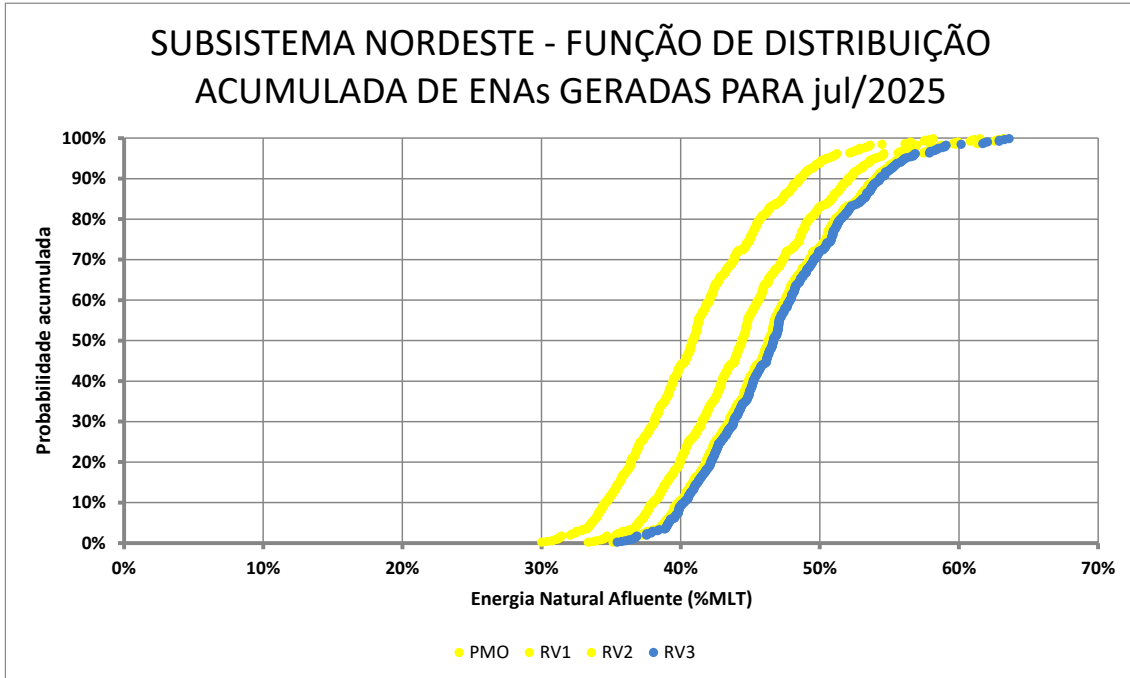


Figura 13 - Amplitude dos Cenários de ENA para o subsistema Norte, em %MLT, para a Revisão 3 de Junho/2025

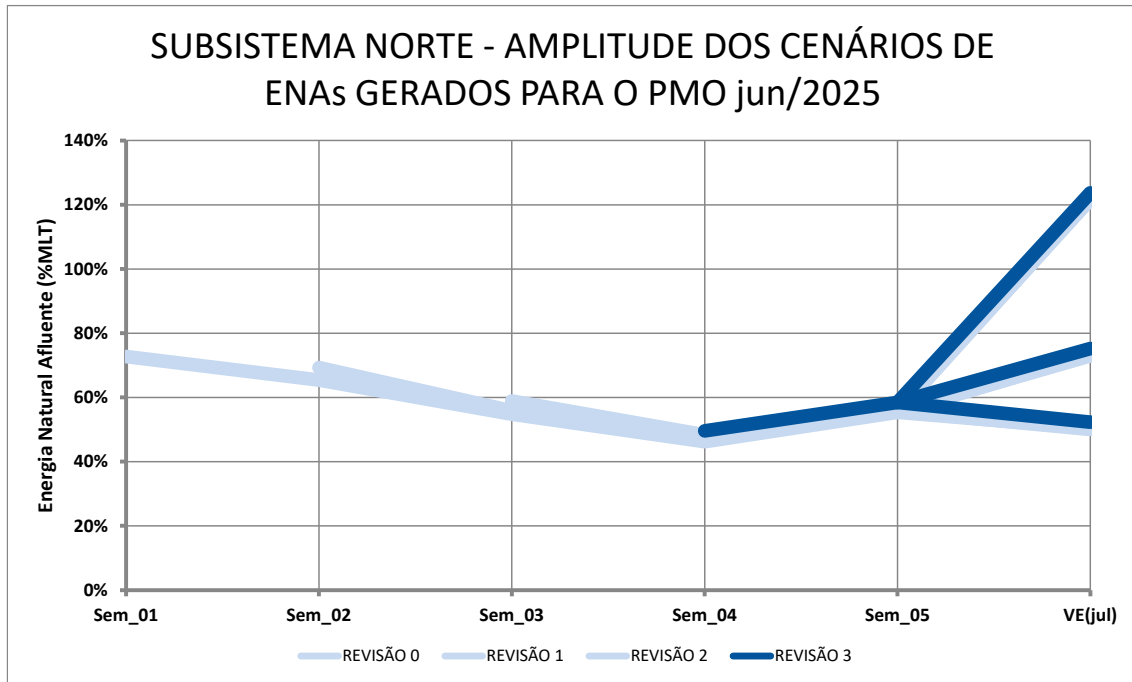
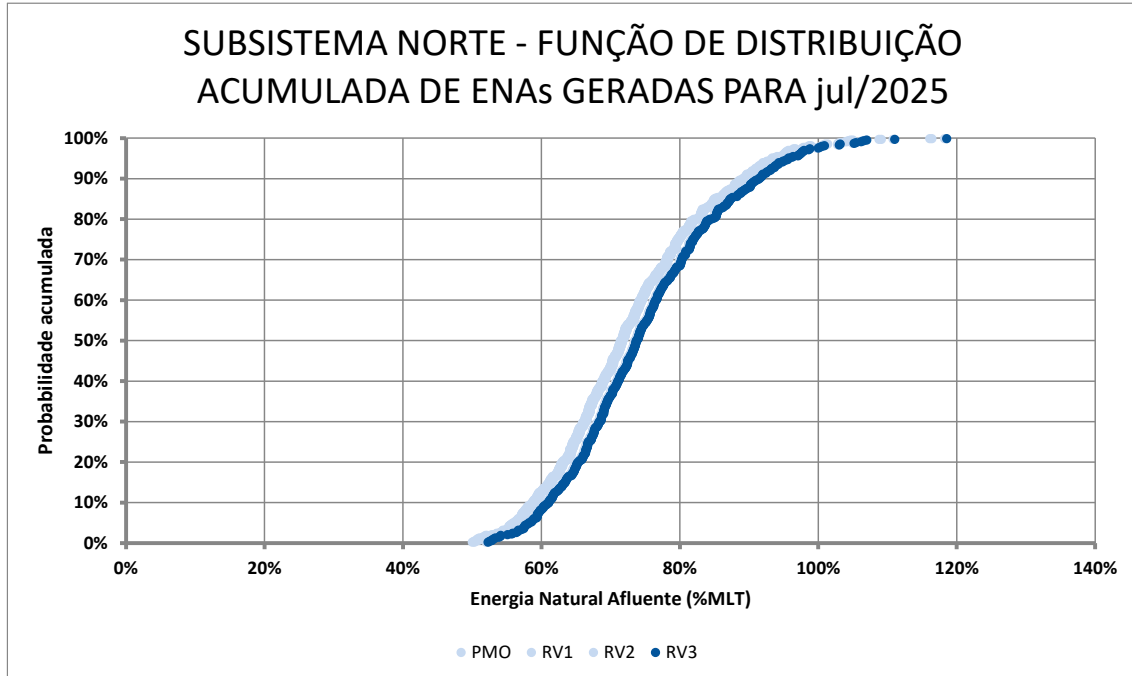


Figura 14 - Função de Distribuição Acumulada dos Cenários para o Subsistema Norte para a revisão 3 de junho/2025



Os valores da MLT (Média de Longo Termo) das energias naturais afluentes para os meses de junho/2025 e julho/2025 são apresentados na tabela a seguir.

Tabela 3 – MLT da ENA nos meses de junho/2025 e julho/2025

| MLT das ENAs (MW/med) | | |
|-----------------------|--------|--------|
| Subsistema | junho | julho |
| SE/CO | 32.541 | 25.581 |
| S | 10.573 | 10.957 |
| NE | 4.535 | 3.744 |
| N | 10.669 | 5.241 |

3.2. Limites de Intercâmbio entre Subsistemas

Os limites elétricos de intercâmbio de energia entre subsistemas são de fundamental importância para o processo de otimização energética, sendo determinantes para a definição das políticas de operação e do CMO para cada subsistema. Estes limites são influenciados por intervenções na malha de transmissão, notadamente na primeira semana operativa. O diagrama a seguir ilustra os fluxos notáveis do SIN e os limites aplicados neste PMO.

Figura 15 – Interligações entre regiões

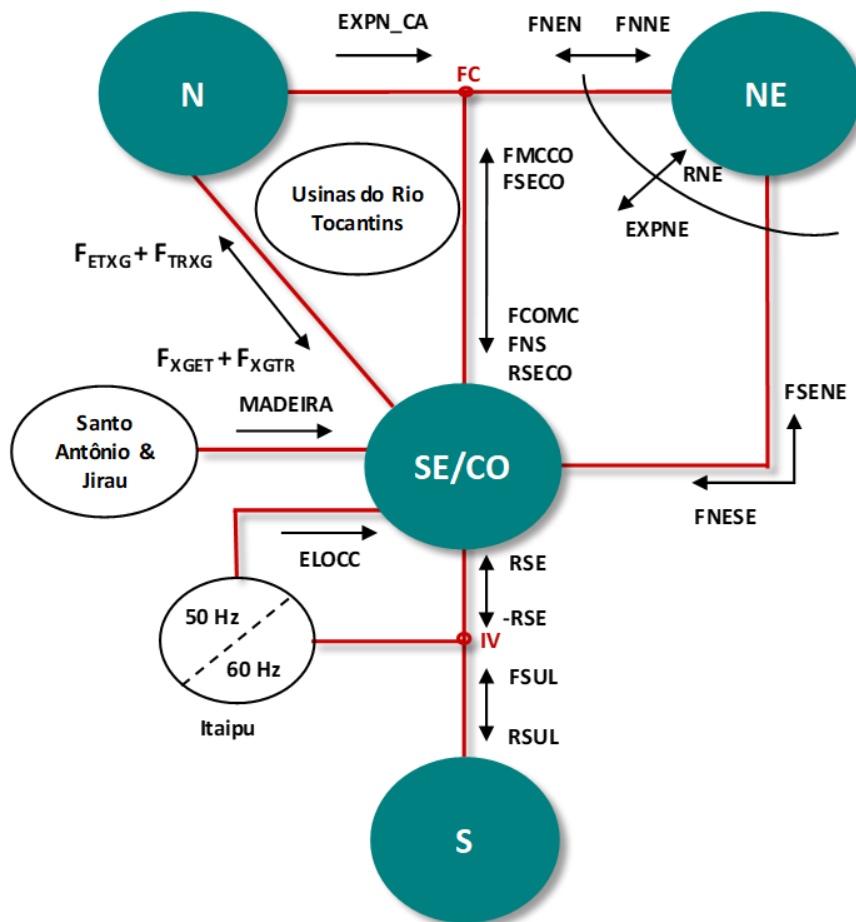


Tabela 4 – Limites considerados nesta semana operativa para intercâmbio de energia

| Limites de Intercâmbio (MWmed) | | | |
|--------------------------------|---------|----------------------|----------------|
| Fluxo | Patamar | 21/06 a 27/06/2025 | Demais Semanas |
| RNE | Pesada | 11.000 | 11.000 |
| | Média | 11.000 | 11.000 |
| | Leve | 11.000 | 11.000 |
| FNS | Pesada | 3.200 | 3.200 |
| | Média | 3.169 (A) (B) | 3.200 |
| | Leve | 4.864 | 5.000 |
| FNNE | Pesada | 7.800 | 7.800 |
| | Média | 7.323 (C) | 7.800 |
| | Leve | 6.250 | 7.800 |
| EXPORT. NE | Pesada | 13.800 | 13.800 |
| | Média | 13.800 | 13.800 |
| | Leve | 13.800 | 13.800 |
| FMCCO | Pesada | 5.000 | 5.000 |
| | Média | 5.000 | 5.000 |
| | Leve | 5.000 | 5.000 |
| FSENE | Pesada | 6.000 | 6.000 |
| | Média | 6.000 | 6.000 |
| | Leve | 6.000 | 6.000 |
| FNS + FNESE | Pesada | 7.700 | 7.700 |
| | Média | 6.098 (A) (B) | 6.129 |
| | Leve | 11.064 | 11.200 |
| RSE | Pesada | 9.145 | 9.145 |
| | Média | 10.195 | 10.195 |
| | Leve | 10.355 | 10.355 |
| FORNEC. SUL | Pesada | 7.000 | 7.000 |
| | Média | 7.000 | 7.000 |
| | Leve | 8.600 | 8.600 |

| Limites de Intercâmbio (MWmed) | | | |
|--------------------------------|---------|----------------------|----------------|
| Fluxo | Patamar | 21/06 a 27/06/2025 | Demais Semanas |
| RECEB. SUL | Pesada | 7.950 | 7.950 |
| | Média | 5.000 | 5.000 |
| | Leve | 8.650 | 8.650 |
| ELO CC 50 Hz | Pesada | 3.132 | 3.132 |
| | Média | 3.132 | 3.132 |
| | Leve | 3.132 | 3.132 |
| ITAIPU 60 Hz | Pesada | 4.900 | 7.500 |
| | Média | 4.900 (D) | 7.500 |
| | Leve | 4.900 | 7.500 |
| EXP. N CA | Pesada | 8.000 | 8.000 |
| | Média | 8.000 | 8.000 |
| | Leve | 8.000 | 8.000 |
| FETXG + FTRXG | Pesada | 4.200 | 4.200 |
| | Média | 4.200 | 4.200 |
| | Leve | 4.200 | 4.200 |
| FXGET + FXGTR | Pesada | 8.000 | 8.000 |
| | Média | 8.000 | 8.000 |
| | Leve | 3.000 | 3.000 |
| FNESE | Pesada | 5.600 | 5.600 |
| | Média | 4.559 | 4.559 |
| | Leve | 8.500 | 8.500 |
| FNEN | Pesada | 5.600 | 5.600 |
| | Média | 5.437 (C) (E) | 5.600 |
| | Leve | 5.342 (F) | 6.200 |
| Ger_MADEIRA | Pesada | 7.278 | 7.278 |
| | Média | 7.278 | 7.278 |
| | Leve | 7.278 | 7.278 |

- (A) SGI 32.599-25
- (B) SGI 32.691-25
- (C) SGI 34.692-25
- (D) SGI 34.819-25
- (E) SGI 35.116-25
- (F) SGI 35.117-25

3.3. Previsão de carga

A partir do fechamento dos valores do PMO de Junho, as projeções de carga indicam variações de -2,7% no subsistema Sudeste/Centro-Oeste, 1,6% no subsistema Sul, 4,5% no subsistema Nordeste e 4,4% no subsistema Norte, em relação ao mesmo mês do ano anterior. Os principais fatores que explicam essas variações são descritos a seguir.

A estimativa de fechamento da carga global de energia na semana operativa atual (14/06 a 20/06) aponta, no Sistema Interligado Nacional (SIN), um resultado 3,2% inferior ao da semana anterior (07/06 a 13/06), consolidando uma expectativa de 73.856 MW médios. Esta variação está associada ao efeito do feriado de Corpus Christi, na quinta-feira (19/06), cujo impacto se estende para a sexta-feira, favorecendo um final de semana prolongado e, conseqüentemente, reduzindo a carga em relação às semanas anteriores.

Na análise por subsistemas, o Sudeste/Centro-Oeste apresentou decréscimo de 3,0% em relação à semana anterior, com desvio de -1,5%, evidenciando a boa assertividade das previsões para um subsistema com influência de fatores climáticos regionais. No Sul, a carga variou -2,9%, com desvio de -1,4%, também demonstrando bom desempenho preditivo em uma região de elevada complexidade preditiva.

Os subsistemas Norte e Nordeste apresentaram desvios de -2,2% e -1,9%, respectivamente, com expectativas de fechamento de 7.871 e 12.747 MW médios. No Norte, além do efeito do feriado, o comportamento da carga segue impactado pela redução de consumo energético por parte de alguns consumidores livres.

Para a próxima semana operativa (21/06 a 27/06), projeta-se aumento de 2,6% na carga do SIN em relação à semana atual, influenciado pelo efeito pós-feriado, levando a carga a um nível semelhante ao observado na segunda semana. As premissas meteorológicas para o Sudeste e Centro-Oeste indicam estabilidade das temperaturas máximas (entre 25°C e 30°C), com elevação em Belo Horizonte e Campo Grande. No Sul, há previsão de declínio em Florianópolis e Curitiba e estabilidade no Rio Grande do Sul. Por fim, no Norte e Nordeste, são esperadas temperaturas estáveis (máximas entre 28°C e 32°C) e volumes de precipitação semelhantes aos observados na semana vigente em suas capitais.

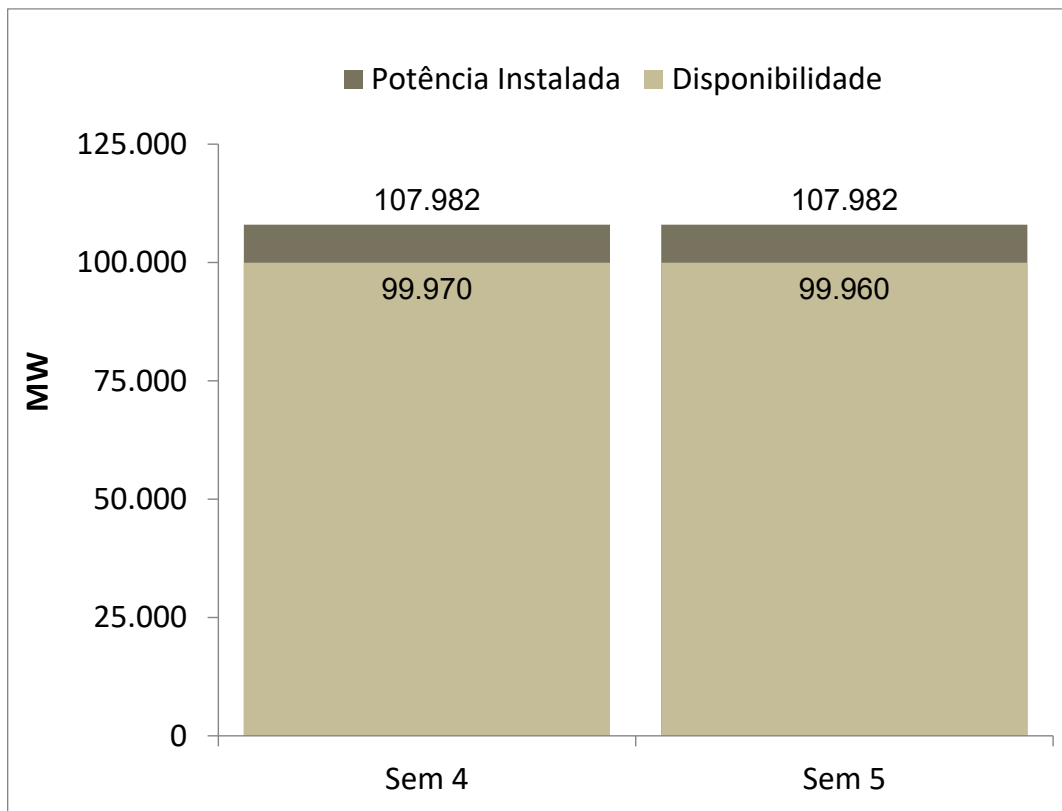
Tabela 5 – Evolução da carga do PMO de Junho de 2025

| Subsistema | CARGA SEMANAL (MWmed) | | | | | CARGA MENSAL (MWmed) | |
|------------|-----------------------|---------------|---------------|---------------|---------------|----------------------|---------------------------|
| | 1ª Sem | 2ª Sem | 3ª Sem | 4ª Sem | 5ª Sem | jun/25 | Var. (%) jun/25 -> jun/24 |
| SE/CO | 42.286 | 41.711 | 40.439 | 41.989 | 41.718 | 41.595 | -2,7% |
| Sul | 13.087 | 13.186 | 12.800 | 13.115 | 13.154 | 13.056 | 1,6% |
| Nordeste | 13.360 | 13.305 | 12.747 | 12.702 | 12.725 | 12.987 | 4,5% |
| Norte | 8.256 | 8.083 | 7.871 | 7.978 | 8.104 | 8.046 | 4,4% |
| SIN | 76.990 | 76.285 | 73.856 | 75.784 | 75.701 | 75.684 | 0,0% |

3.4. Potência Hidráulica Total Disponível no SIN

O gráfico a seguir mostra a disponibilidade hidráulica total do SIN, para este mês, de acordo com o cronograma de manutenção informado pelos agentes para esta revisão.

Figura 16 – Potência hidráulica disponível no SIN



3.5. Armazenamentos Iniciais por Subsistema

Tabela 6 – Armazenamentos iniciais, por subsistema, considerados para esta semana operativa

| Armazenamento (%EAR _{máx}) - 0:00 h do dia 21/06/2025 | | |
|---|---|--|
| Subsistema | Nível previsto na Revisão 2 do PMO Jun/2025 | Partida informada pelos Agentes para a Revisão 3 do PMO Jun/2025 |
| SE/CO | 67,8 | 67,2 |
| S | 48,5 | 47,3 |
| NE | 70,7 | 70,5 |
| N | 99,4 | 98,0 |

A primeira coluna da tabela acima corresponde ao armazenamento previsto na Revisão 2 do PMO de Junho de 2025, para a 0:00 h do dia 21/06/2025. A segunda coluna apresenta os armazenamentos obtidos a partir dos níveis de partida informados pelos Agentes de Geração para seus aproveitamentos com reservatórios.

4. PRINCIPAIS RESULTADOS

4.1. Política de Operação Energética

Para esta semana operativa, está prevista a seguinte política de intercâmbio de energia entre regiões:

Região SE/CO:

- Utilização dos recursos das bacias dos rios Grande e Paranaíba, conforme necessidade de alocação na carga para fechamento do balanço e controle de nível dos reservatórios;
- Expectativa de manutenção das defluências nas UHEs Jupia e Porto Primavera;
- Restrição das defluências das usinas do Rio Tocantins, em função do período de praias na região.

Região Sul:

- Controle do nível dos reservatórios, visando recuperação de recursos;
- Controle de geração nas usinas de menor regularização, em função das previsões de vazão;
- Avaliação diária do despacho adicional GE (CMSE), com expectativa inicial de não haver despacho adicional.

Região NE:

- Subsistema exportador de energia;
- Operação minimizada na cascata do Rio São Francisco devido aos limites de interligação.

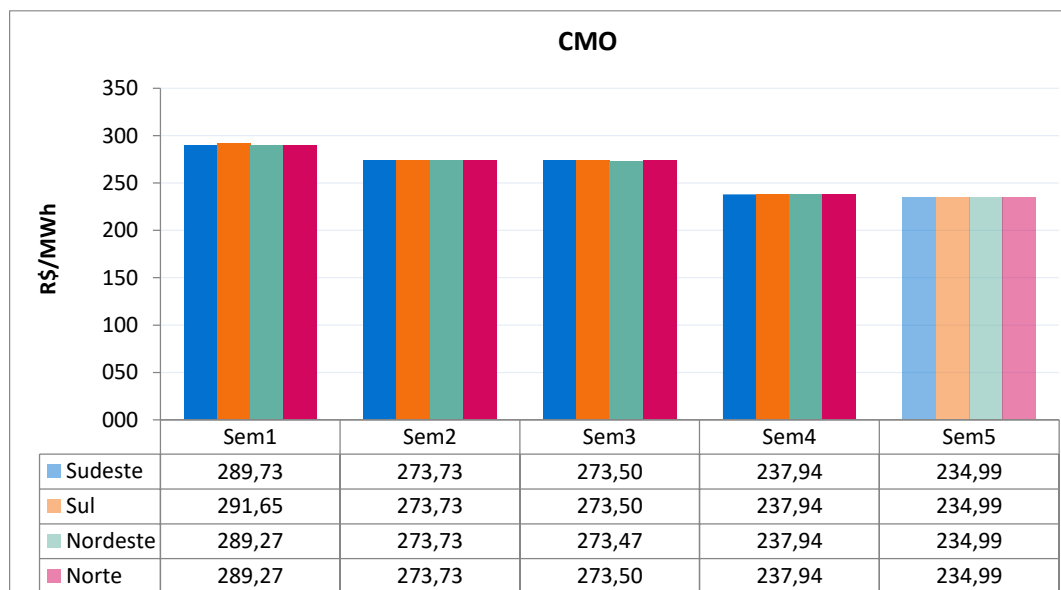
Região Norte:

- Exploração das usinas de Belo Monte e Tucuruí, conforme disponibilidades energéticas, respeitando-se as restrições operativas e os limites elétricos vigentes.
- Geração na UHE Balbina para controle de nível, conforme simulação hidráulica.

4.2. Custo Marginal de Operação – CMO

A figura a seguir apresenta os Custos Marginais de Operação, em valores médios semanais, para as semanas operativas deste mês.

Figura 17 – CMO em valores médios



A tabela a seguir apresenta o custo marginal de operação, por subsistema e patamar de carga, para a próxima semana operativa.

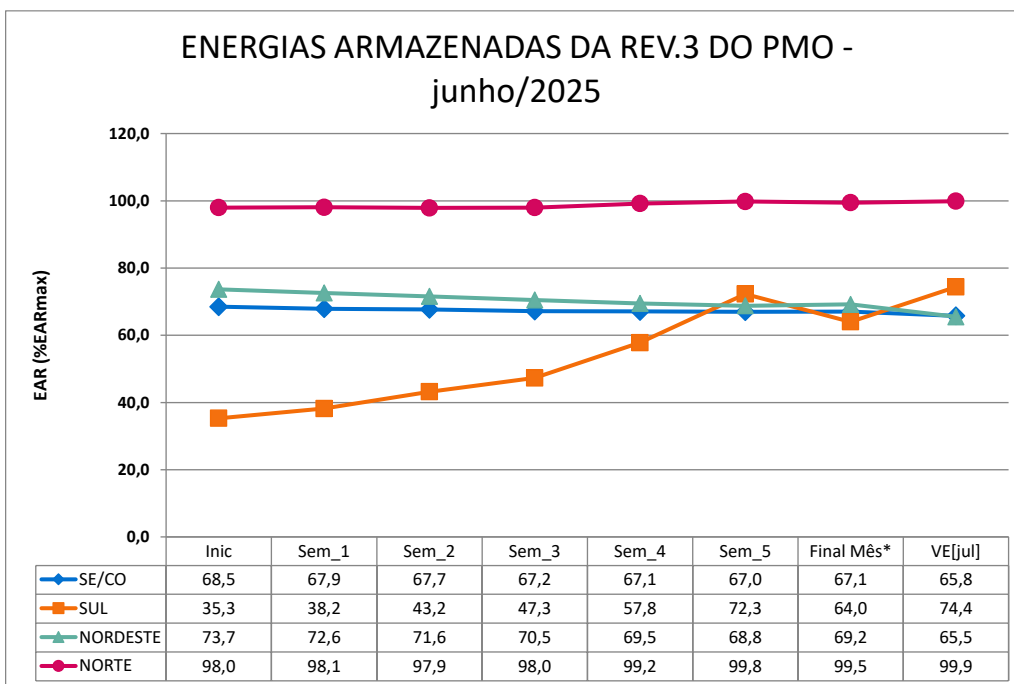
Tabela 7 – CMO para esta semana operativa

| Patamares de Carga | CMO (R\$/MWh) | | | |
|----------------------|---------------|---------------|---------------|---------------|
| | SE/CO | S | NE | N |
| Pesada | 243,91 | 243,91 | 243,91 | 243,91 |
| Média | 238,53 | 238,53 | 238,53 | 238,53 |
| Leve | 235,53 | 235,53 | 235,53 | 235,53 |
| Média Semanal | 237,94 | 237,94 | 237,94 | 237,94 |

4.3. Energia Armazenada

O processo de otimização realizado pelo programa DECOMP indicou os armazenamentos mostrados na figura a seguir para as próximas semanas operativas do mês de junho/2025.

Figura 18 – Energias Armazenadas nas semanas operativas do mês de junho/2025



Os armazenamentos da figura anterior estão expressos em percentual da Energia Armazenável Máxima de cada subsistema, que são mostradas na tabela a seguir.

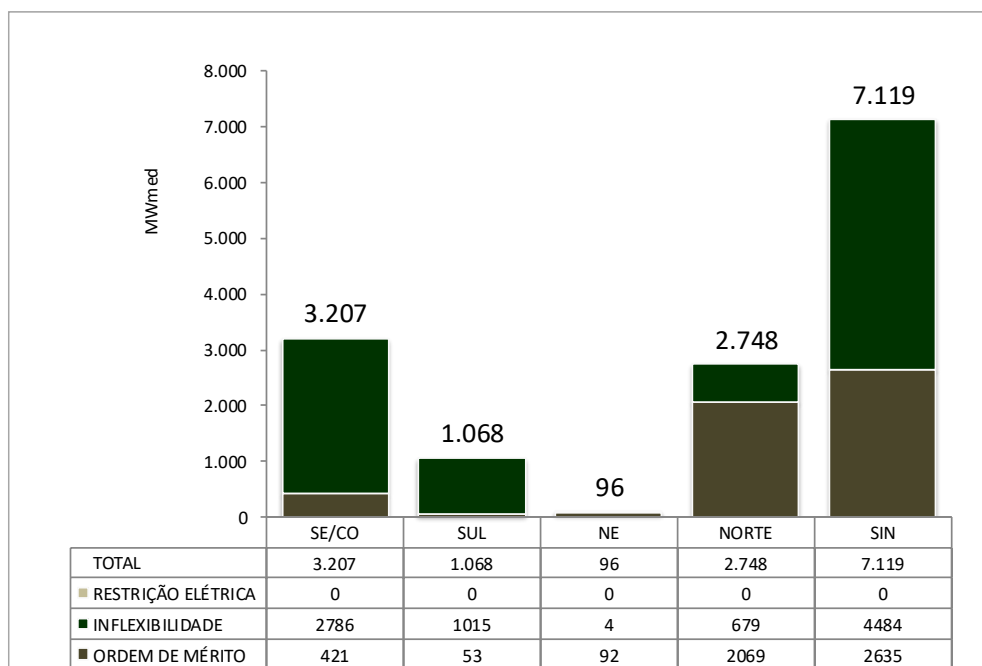
Tabela 8– Energia Armazenável Máxima por subsistema no PMO de Junho/2025

| ENERGIA ARMAZENÁVEL MÁXIMA (MWmed) | | |
|------------------------------------|---------|---------|
| Subsistema | junho | julho |
| SE/CO | 205.569 | 205.569 |
| S | 20.458 | 20.458 |
| NE | 51.718 | 51.718 |
| N | 14.795 | 15.297 |

5. GERAÇÃO TÉRMICA

A Figura 19 apresenta, para cada subsistema do SIN, o despacho térmico por modalidade indicado pelo DECOMP para esta semana operativa.

Figura 19 – Geração térmica para a próxima semana operativa



Na tabela abaixo segue a Indicação de despacho antecipado por ordem de mérito de custo para a semana de 23/08/2025 a 29/08/2025.

Tabela 9 – UTEs com contrato de combustível GNL

| UTE | | | Benefício (R\$/MWh) | | | Despacho antecipado por mérito | | |
|------------|--------|---------------|---------------------|-------------|------------|--------------------------------|-------------|------------|
| Nome | Código | CVU (R\$/MWh) | Carga Pesada | Carga Média | Carga Leve | Carga Pesada | Carga Média | Carga Leve |
| SANTA CRUZ | 86 | 230,82 | 284,74 | 276,61 | 271,34 | Sim | Sim | Sim |
| LUIZORMELO | 15 | 349,22 | 284,74 | 276,61 | 271,34 | Não | Não | Não |
| PSERGIPE I | 224 | 314,65 | 281,04 | 275,76 | 271,34 | Não | Não | Não |

Assim sendo, há indicação de despacho antecipado por ordem de mérito de custo para a UTE Santa Cruz para a semana de 23/08/2025 a 29/08/2025 nos três patamares de carga.

Para as UTEs Luiz O. R. Melo e Porto Sergipe I, não há indicação de despacho antecipado.

6. RESUMO DOS RESULTADOS DO PMO

As figuras a seguir apresentam um resumo dos resultados da Revisão 3 de Junho/2025, com informações da Energia Natural Afluente (ENA), da Energia Armazenada (EAR) e do Custo Marginal de Operação (CMO) nos subsistemas do Sistema Interligado Nacional (SIN). São apresentados os valores semanais observados e previstos e o valor esperado dos cenários gerados para o mês de julho/2025.

Figura 20 – Resumo de junho/2025 para o Subsistema Sudeste/Centro-Oeste

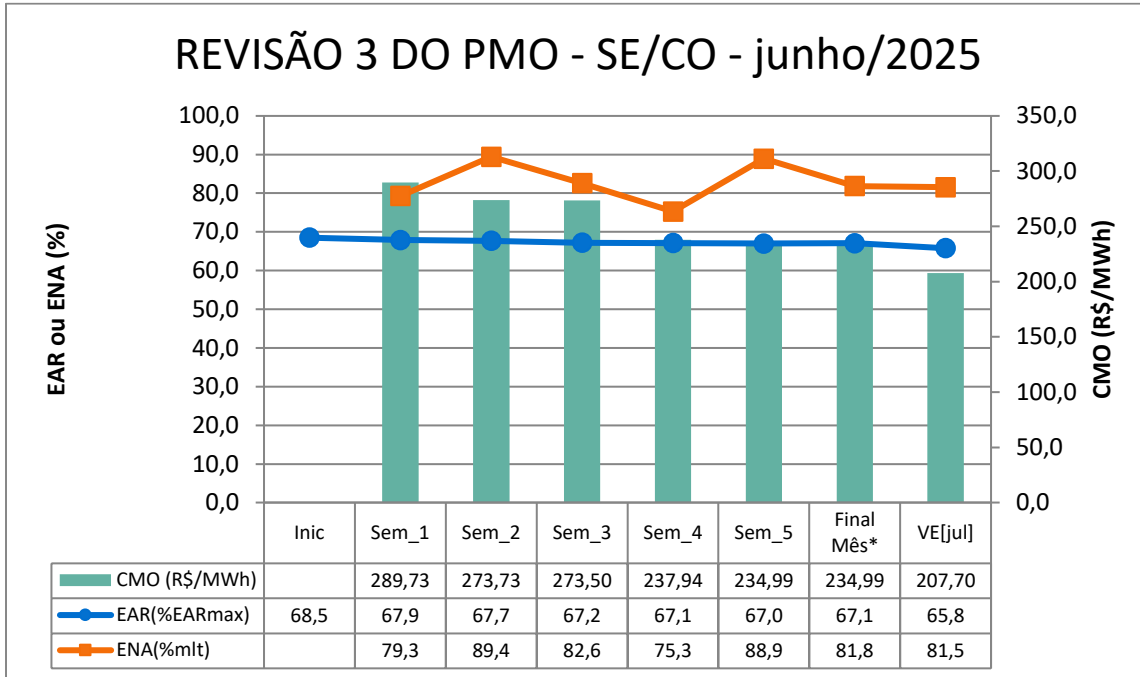


Figura 21 – Resumo de junho/2025 para o Subsistema Sul

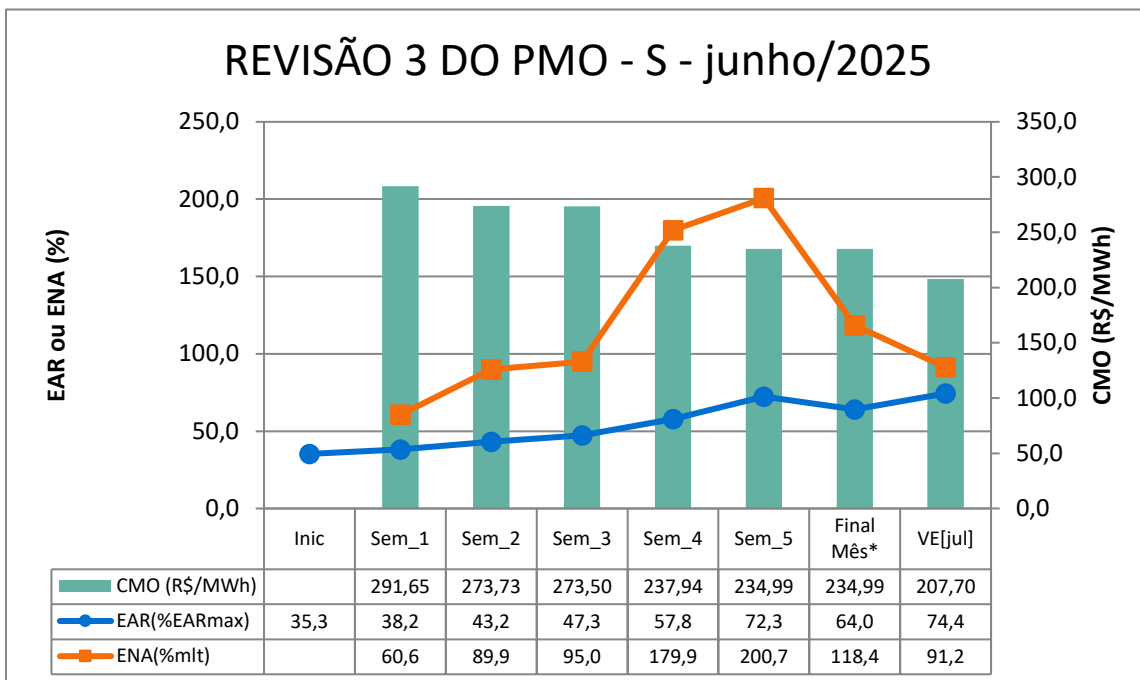


Figura 22 – Resumo de junho/2025 para o Subsistema Nordeste

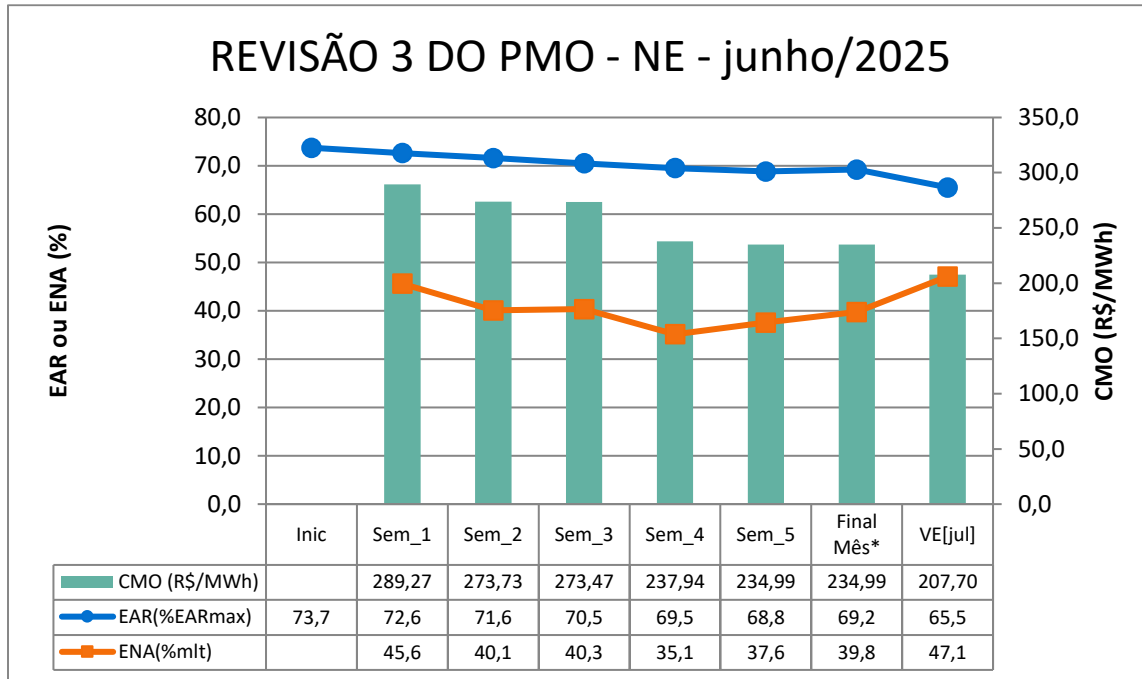
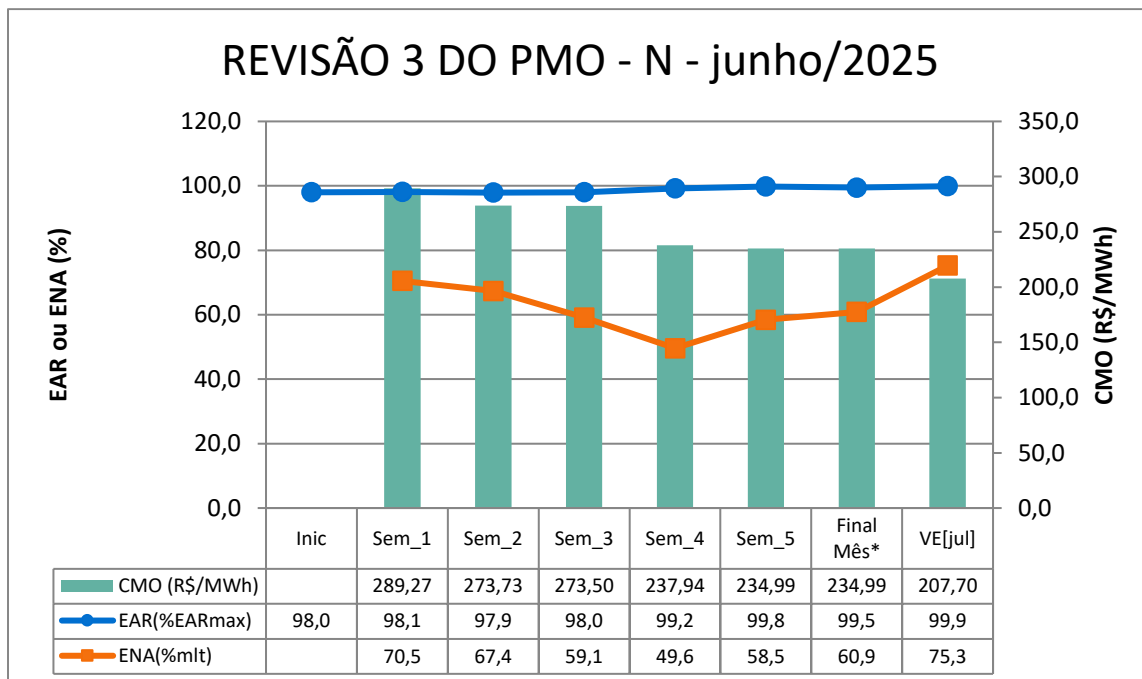


Figura 23 – Resumo de junho/2025 para o Subsistema Norte



7. ARMAZENAMENTOS OPERATIVOS

Para uma melhor avaliação de diversos cenários hidrometeorológicos, notadamente, aqueles de curto prazo e suas influências nas previsões de vazões nos subsistemas, os resultados desta revisão do PMO contemplam cenários de afluências visando melhor representar a ocorrência de precipitação e, consequentemente, seus efeitos sobre as afluências e armazenamentos.

Apresentamos a seguir as correspondentes energias naturais afluentes e os resultados obtidos com a aplicação do cenário de afluência utilizado no estudo.

Tabela 10 – Previsão de ENA do caso de valor esperado das previsões de afluência

| Subsistema | ENERGIAS NATURAIS AFLUENTES | | | |
|------------|-----------------------------|------------|-----------------|------------|
| | Previsão Semanal | | Previsão Mensal | |
| | (MWmed) | %MLT | (MWmed) | %MLT |
| SE/CO | 24.503 | 75 | 26.624 | 82 |
| Sul | 19.018 | 180 | 12.519 | 118 |
| Nordeste | 1.594 | 35 | 1.803 | 40 |
| Norte | 5.297 | 50 | 6.494 | 61 |

Tabela 11 – Previsão de %EARmáx para o final do mês

| Subsistema | % EARmáx 20/06 | % EARmáx - 30/06 |
|------------|----------------|------------------|
| | NÍVEL INICIAL | NÍVEL PMO |
| SE/CO | 67,2 | 67,1 |
| Sul | 47,3 | 64,0 |
| Nordeste | 70,5 | 69,2 |
| Norte | 98,0 | 99,5 |

8. RESERVATÓRIOS EQUIVALENTES DE ENERGIA

A seguir são apresentadas as previsões de Energia Natural Afluyente para a próxima semana operativa e para o mês de junho, bem como as previsões de Energia Armazenada nos Reservatórios Equivalentes de Energia – REE, desta revisão do PMO de Junho de 2025.

Tabela 12 – Previsão de ENA por REE

| Valor Esperado das Energias Naturais Afluentes | | | | |
|--|-------------------------|------|-----------------|------|
| REE | Previsão Semanal | | Previsão Mensal | |
| | 21/06/2025 a 27/06/2025 | | jun-25 | |
| | (MWmed) | %MLT | (MWmed) | %MLT |
| Sudeste | 2.168 | 60 | 2.462 | 69 |
| Madeira | 6.787 | 112 | 7.306 | 120 |
| Teles Pires | 1.071 | 76 | 1.216 | 87 |
| Itaipu | 3.137 | 87 | 3.206 | 89 |
| Paraná | 9.554 | 62 | 10.391 | 68 |
| Paranapanema | 1.774 | 69 | 2.023 | 78 |
| Sul | 11.323 | 209 | 6.626 | 123 |
| Iguaçu | 7.695 | 149 | 5.894 | 114 |
| Nordeste | 1.594 | 35 | 1.803 | 40 |
| Norte | 2.142 | 49 | 2.564 | 59 |
| Belo Monte | 1.915 | 40 | 2.841 | 59 |
| Manaus | 1.236 | 85 | 1.291 | 89 |

Tabela 13 – Previsão de %EARMáx por REE

| % Energia Armazenável Máxima | | |
|------------------------------|------------------|-----------------|
| REE | Previsão Semanal | Previsão Mensal |
| | 27-jun | 30-jun |
| | (%EARMáx) | (%EARMáx) |
| Sudeste | 70,7 | 70,4 |
| Madeira | 87,1 | 86,8 |
| Teles Pires | 69,0 | 69,9 |
| Itaipu | 95,4 | 97,4 |
| Paraná | 65,8 | 65,7 |
| Paranapanema | 65,9 | 67,1 |
| Sul | 50,5 | 55,8 |
| Iguaçu | 64,9 | 72,0 |
| Nordeste | 69,5 | 69,2 |
| Norte | 99,3 | 99,6 |
| Belo Monte | 100,0 | 100,0 |
| Manaus | 96,3 | 97,1 |

9. DESPACHO TÉRMICO POR MODALIDADE, PATAMAR DE CARGA E USINA

Nas tabelas abaixo, a diferenciação entre geração por inflexibilidade e por ordem de mérito tem caráter informativo, com o objetivo de detalhar a informação de inflexibilidade enviada pelos respectivos agentes para esta Revisão do PMO. Ressalta-se que nas etapas de Programação Diária e Tempo Real, o montante despachado nas usinas termelétricas indicadas por ordem de mérito é plenamente intitulado como ordem de mérito.

| REGIÃO SUDESTE/CENTRO-OESTE | | | | | | | | | | | | | | | | | |
|-----------------------------|-------------|---------|-----------------|---------------|---------------|-----------------|--------------|--------------|----------------------|---------------|---------------|----------------|------------|------------|---------------|---------------|---------------|
| Térmicas Potência (MW) | Combustível | | Inflexibilidade | | | Ordem de Mérito | | | Total Mérito e INFL. | | | Razão Elétrica | | | Total UTE | | |
| | | | P | M | L | P | M | L | P | M | L | P | M | L | P | M | L |
| ATLAN_CSA (255) | Resíduos | 0,00 | 68,7 | 68,7 | 68,7 | | | | 68,7 | 68,7 | 68,7 | | | | 68,7 | 68,7 | 68,7 |
| DAIA (44) | Diesel | --- | | | | | | | | | | | | | | | |
| TNORTE 2 (349) | Óleo | --- | | | | | | | | | | | | | | | |
| W.ARJONA O (177) | Diesel | --- | | | | | | | | | | | | | | | |
| XAVANTES (54) | Diesel | --- | | | | | | | | | | | | | | | |
| ANGRA 2 (1350) | Nuclear | 20,12 | 1350,0 | 1350,0 | 1350,0 | 0,0 | 0,0 | 0,0 | 1350,0 | 1350,0 | 1350,0 | | | | 1350,0 | 1350,0 | 1350,0 |
| ANGRA 1 (640) | Nuclear | 31,17 | | | | 0,0 | 0,0 | 0,0 | | | | | | | | | |
| M.AZUL (566) | Gás | 136,49 | | | | 0,0 | 0,0 | 0,0 | | | | | | | | | |
| O.PINTADA (50) | Biomassa | 145,52 | 30,0 | 30,0 | 30,0 | 20,0 | 20,0 | 20,0 | 50,0 | 50,0 | 50,0 | | | | 50,0 | 50,0 | 50,0 |
| UTE STA VI (41) | Biomassa | 157,20 | 18,0 | 18,0 | 18,0 | 23,0 | 23,0 | 23,0 | 41,0 | 41,0 | 41,0 | | | | 41,0 | 41,0 | 41,0 |
| BAIXADA FL (530) | Gás | 227,09 | | 82,0 | 259,0 | 530,0 | 448,0 | 271,0 | 530,0 | 530,0 | 530,0 | | | | 530,0 | 530,0 | 530,0 |
| SANTA CRUZ (500) | GNL | 230,82 | | | | | | | | | | | | | | | |
| ATLANTICO (235) | Resíduos | 256,90 | 218,7 | 218,7 | 218,7 | | | | 218,7 | 218,7 | 218,7 | | | | 218,7 | 218,7 | 218,7 |
| ST.CRUZ 34 (436) | Óleo | 310,41 | | | | | | | | | | | | | | | |
| LUIZORMELO (204) | GNL | 349,22 | | | | | | | | | | | | | | | |
| CUBATAO (216) | Gás | 430,27 | 48,0 | 48,0 | 48,0 | | | | 48,0 | 48,0 | 48,0 | | | | 48,0 | 48,0 | 48,0 |
| UTE GNA I (1338) | Gás | 440,62 | | | | | | | | | | | | | | | |
| PIRAT.12 O (200) | Gás | 470,34 | | | | | | | | | | | | | | | |
| UTE GNA II (1673) | Gás | 560,12 | | | | | | | | | | | | | | | |
| IBIRITE (235) | Gás | 767,28 | 230,0 | 195,0 | 120,0 | | | | 230,0 | 195,0 | 120,0 | | | | 230,0 | 195,0 | 120,0 |
| TERMORIO (989) | Gás | 866,87 | 600,0 | 555,0 | 455,0 | | | | 600,0 | 555,0 | 455,0 | | | | 600,0 | 555,0 | 455,0 |
| KARKEY 013 (259) | Gás | 876,64 | 31,0 | 31,0 | 31,0 | | | | 31,0 | 31,0 | 31,0 | | | | 31,0 | 31,0 | 31,0 |
| KARKEY 019 (116) | Gás | 876,64 | | | | | | | | | | | | | | | |
| NORTEFLU (826) | Gás | 884,63 | | | | | | | | | | | | | | | |
| T.LAGOAS (350) | Gás | 909,79 | | | | | | | | | | | | | | | |
| T.MACAE (922) | Gás | 956,68 | 480,0 | 210,0 | 42,0 | | | | 480,0 | 210,0 | 42,0 | | | | 480,0 | 210,0 | 42,0 |
| PORSUD II (78) | Gás | 1029,18 | | | | | | | | | | | | | | | |
| PORSUD I (116) | Gás | 1029,46 | | | | | | | | | | | | | | | |
| CUIABA CC (529) | Gás | 1046,82 | | | | | | | | | | | | | | | |
| J.FORA (87) | Gás | 1105,44 | | 3,0 | | | | | | 3,0 | | | | | 0,0 | 3,0 | 0,0 |
| SEROPEDICA (360) | Gás | 1155,42 | | | | | | | | | | | | | | | |
| PAULINIA (16) | Gás | 1252,64 | 15,7 | 15,7 | 15,7 | | | | 15,7 | 15,7 | 15,7 | | | | 15,7 | 15,7 | 15,7 |
| LORM_PCS (36) | Gás | 1274,48 | | | | | | | | | | | | | | | |
| POVOACAO I (75) | Gás | 1274,48 | | | | | | | | | | | | | | | |
| VIANA I (37) | Gás | 1274,48 | | | | | | | | | | | | | | | |
| NPIRATINGA (572) | Gás | 1318,22 | | | | | | | | | | | | | | | |
| PALMEIR_GO (176) | Diesel | 1438,16 | | | | | | | | | | | | | | | |
| W.ARJONA (177) | Gás | 1461,52 | | | | | | | | | | | | | | | |
| VIANA (175) | Óleo | 1734,64 | | | | | | | | | | | | | | | |
| TOTAL SE/CO (14989) | | | 3090,1 | 2825,1 | 2656,1 | 573,0 | 491,0 | 314,0 | 3663,1 | 3316,1 | 2970,1 | 0,0 | 0,0 | 0,0 | 3663,1 | 3316,1 | 2970,1 |
| REGIÃO SUL | | | | | | | | | | | | | | | | | |
| Térmicas Potência (MW) | Combustível | | Inflexibilidade | | | Ordem de Mérito | | | Total Mérito e INFL. | | | Razão Elétrica | | | Total UTE | | |
| | | | P | M | L | P | M | L | P | M | L | P | M | L | P | M | L |
| PAMPA SUL (345) | Carvão | 101,20 | 300,0 | 300,0 | 300,0 | 45,0 | 45,0 | 45,0 | 345,0 | 345,0 | 345,0 | | | | 345,0 | 345,0 | 345,0 |
| SAO SEPE (8) | Biomassa | 113,53 | | | | 8,0 | 8,0 | 8,0 | 8,0 | 8,0 | 8,0 | | | | 8,0 | 8,0 | 8,0 |
| FIGUEIRA (20) | Carvão | 330,64 | | | | | | | | | | | | | | | |
| J.LACER. C (330) | Carvão | 341,04 | 300,0 | 300,0 | 300,0 | | | | 300,0 | 300,0 | 300,0 | | | | 300,0 | 300,0 | 300,0 |
| J.LACER. B (220) | Carvão | 397,24 | 110,0 | 110,0 | 110,0 | | | | 110,0 | 110,0 | 110,0 | | | | 110,0 | 110,0 | 110,0 |
| J.LAC. A2 (110) | Carvão | 406,63 | 55,0 | 55,0 | 55,0 | | | | 55,0 | 55,0 | 55,0 | | | | 55,0 | 55,0 | 55,0 |
| J.LAC. A1 (80) | Carvão | 475,13 | 40,0 | 40,0 | 40,0 | | | | 40,0 | 40,0 | 40,0 | | | | 40,0 | 40,0 | 40,0 |
| CANDIOTA_3 (350) | Carvão | 524,78 | 210,0 | 210,0 | 210,0 | | | | 210,0 | 210,0 | 210,0 | | | | 210,0 | 210,0 | 210,0 |
| ARAUCARIA (484) | Gás | 707,74 | | | | | | | | | | | | | | | |
| URUGUAIANA (640) | Gás | 774,41 | | | | | | | | | | | | | | | |
| B.BONITA I (10) | Gás | 778,35 | | | | | | | | | | | | | | | |
| CANOAS (249) | Gás | 1277,30 | | | | | | | | | | | | | | | |
| TOTAL SUL (2846) | | | 1015,0 | 1015,0 | 1015,0 | 53,0 | 53,0 | 53,0 | 1068,0 | 1068,0 | 1068,0 | 0,0 | 0,0 | 0,0 | 1068,0 | 1068,0 | 1068,0 |

O conteúdo desta publicação foi produzido pelo ONS com base em dados e informações de conhecimento público. É de responsabilidade exclusiva dos agentes e demais interessados a obtenção de outros dados e informações, a realização de análises, estudos e avaliações para fins de tomada de decisões, definição de estratégias de atuação, assunção de compromissos e obrigações e quaisquer outras finalidades, em qualquer tempo e sob qualquer condição. É proibida a reprodução ou utilização total ou parcial do presente sem a identificação da fonte.

| REGIÃO NORDESTE | | | | | | | | | | | | | | | | | | |
|---------------------------|-------------|---------|-----------------|--------------|--------------|-----------------|---------------|---------------|----------------------|---------------|---------------|----------------|------------|------------|---------------|---------------|---------------|--|
| Térmicas Potência (MW) | Combustível | | Inflexibilidade | | | Ordem de Mérito | | | Total Mérito e INFL. | | | Razão Elétrica | | | Total UTE | | | |
| | | | P | M | L | P | M | L | P | M | L | P | M | L | P | M | L | |
| CAMPINA_GR (169) | Óleo | --- | | | | | | | | | | | | | | | | |
| GLOBAL I (149) | Óleo | --- | | | | | | | | | | | | | | | | |
| GLOBAL II (149) | Óleo | --- | | | | | | | | | | | | | | | | |
| MARACANAU (168) | Óleo | --- | | | | | | | | | | | | | | | | |
| PETROLINA (136) | Óleo | --- | | | | | | | | | | | | | | | | |
| POTIGUAR (53) | Diesel | --- | | | | | | | | | | | | | | | | |
| POTIGUAR_3 (66) | Diesel | --- | | | | | | | | | | | | | | | | |
| TERMOCABO (50) | Óleo | --- | | | | | | | | | | | | | | | | |
| TERMONE (171) | Óleo | --- | | | | | | | | | | | | | | | | |
| TERMOPB (171) | Óleo | --- | | | | | | | | | | | | | | | | |
| ERB CANDEI (17) | Biomassa | 113,61 | 3,5 | 3,5 | 3,5 | 8,5 | 8,5 | 8,5 | 12,0 | 12,0 | 12,0 | | | | | | | |
| PROSP_I (28) | Gás | 214,28 | | | | 28,0 | 28,0 | 28,0 | 28,0 | 28,0 | 28,0 | | | | | | | |
| PROSP_III (56) | Gás | 218,33 | | | | 56,0 | 56,0 | 56,0 | 56,0 | 56,0 | 56,0 | | | | | | | |
| P.PECEM1 (720) | Carvão | 311,05 | | | | | | | | | | | | | | | | |
| PSERGIPE I (1593) | GNL | 314,65 | | | | | | | | | | | | | | | | |
| P.PECEM2 (365) | Carvão | 320,42 | | | | | | | | | | | | | | | | |
| PROSP_II (37) | Gás | 328,17 | | | | | | | | | | | | | | | | |
| VALE ACU (110) | Gás | 450,86 | | | | | | | | | | | | | | | | |
| T.BAHIA (186) | Gás | 663,53 | | | | | | | | | | | | | | | | |
| PERNAMBUCO_3 (201) | Óleo | 819,54 | | | | | | | | | | | | | | | | |
| TERMOPE (550) | Gás | 930,84 | | | | | | | | | | | | | | | | |
| SUAPE II (381) | Óleo | 969,93 | | | | | | | | | | | | | | | | |
| TERMOCEARA (223) | Gás | 1938,83 | | | | | | | | | | | | | | | | |
| C.MURICY 2 (144) | Óleo | 2319,04 | | | | | | | | | | | | | | | | |
| PECEM 2 (144) | Óleo | 2343,17 | | | | | | | | | | | | | | | | |
| TOTAL NE (5749) | | | 3,5 | 3,5 | 3,5 | 92,5 | 92,5 | 92,5 | 96,0 | 96,0 | 96,0 | 0,0 | 0,0 | 0,0 | 96,0 | 96,0 | 96,0 | |
| REGIÃO NORTE | | | | | | | | | | | | | | | | | | |
| Térmicas Potência (MW) | Combustível | | Inflexibilidade | | | Ordem de Mérito | | | Total Mérito e INFL. | | | Razão Elétrica | | | Total UTE | | | |
| | | | P | M | L | P | M | L | P | M | L | P | M | L | P | M | L | |
| MARANHAO3 (519) | Gás | 110,91 | | | | 501,5 | 500,6 | 513,6 | 501,5 | 500,6 | 513,6 | | | | 501,5 | 500,6 | 513,6 | |
| APARECIDA (166) | Gás | 114,11 | 75,0 | 75,0 | 75,0 | 48,0 | 48,0 | 48,0 | 123,0 | 123,0 | 123,0 | | | | 123,0 | 123,0 | 123,0 | |
| C. ROCHA (85) | Gás | 114,11 | 28,0 | 28,0 | 28,0 | 39,0 | 39,0 | 39,0 | 67,0 | 67,0 | 67,0 | | | | 67,0 | 67,0 | 67,0 | |
| JARAQUI (75) | Gás | 114,11 | 29,0 | 29,0 | 29,0 | 34,0 | 34,0 | 34,0 | 63,0 | 63,0 | 63,0 | | | | 63,0 | 63,0 | 63,0 | |
| MANAUARA (73) | Gás | 114,11 | 35,0 | 35,0 | 35,0 | 32,0 | 32,0 | 32,0 | 67,0 | 67,0 | 67,0 | | | | 67,0 | 67,0 | 67,0 | |
| PONTA NEGR (73) | Gás | 114,11 | 35,0 | 35,0 | 35,0 | 29,0 | 29,0 | 29,0 | 64,0 | 64,0 | 64,0 | | | | 64,0 | 64,0 | 64,0 | |
| TAMBAQUI (93) | Gás | 114,11 | 33,0 | 33,0 | 33,0 | 30,0 | 30,0 | 30,0 | 63,0 | 63,0 | 63,0 | | | | 63,0 | 63,0 | 63,0 | |
| UTE MAUA 3 (591) | Gás | 114,11 | 264,0 | 264,0 | 264,0 | 326,8 | 326,8 | 326,8 | 590,8 | 590,8 | 590,8 | | | | 590,8 | 590,8 | 590,8 | |
| MARANHAO V (338) | Gás | 213,68 | | | | 330,0 | 329,6 | 335,3 | 330,0 | 329,6 | 335,3 | | | | 330,0 | 329,6 | 335,3 | |
| MARANHAOIV (338) | Gás | 213,68 | | | | 330,0 | 329,6 | 335,3 | 330,0 | 329,6 | 335,3 | | | | 330,0 | 329,6 | 335,3 | |
| PARNAIBA_V (386) | Vapor | 233,55 | | | | 356,1 | 355,6 | 362,5 | 356,1 | 355,6 | 362,5 | | | | 356,1 | 355,6 | 362,5 | |
| N.VENECIA2 (270) | Gás | 294,56 | 180,0 | 180,0 | 180,0 | | | | 180,0 | 180,0 | 180,0 | | | | 180,0 | 180,0 | 180,0 | |
| P. ITAQUI (360) | Carvão | 312,59 | | | | | | | | | | | | | | | | |
| PARNAIBA_IV (56) | Gás | 439,07 | | | | | | | | | | | | | | | | |
| GERAMAR2 (166) | Óleo | 2007,32 | | | | | | | | | | | | | | | | |
| GERAMAR1 (166) | Óleo | 2032,63 | | | | | | | | | | | | | | | | |
| TOTAL NORTE (4045) | | | 679,0 | 679,0 | 679,0 | 2056,4 | 2054,2 | 2085,5 | 2735,4 | 2733,2 | 2764,5 | 0,0 | 0,0 | 0,0 | 2735,4 | 2733,2 | 2764,5 | |